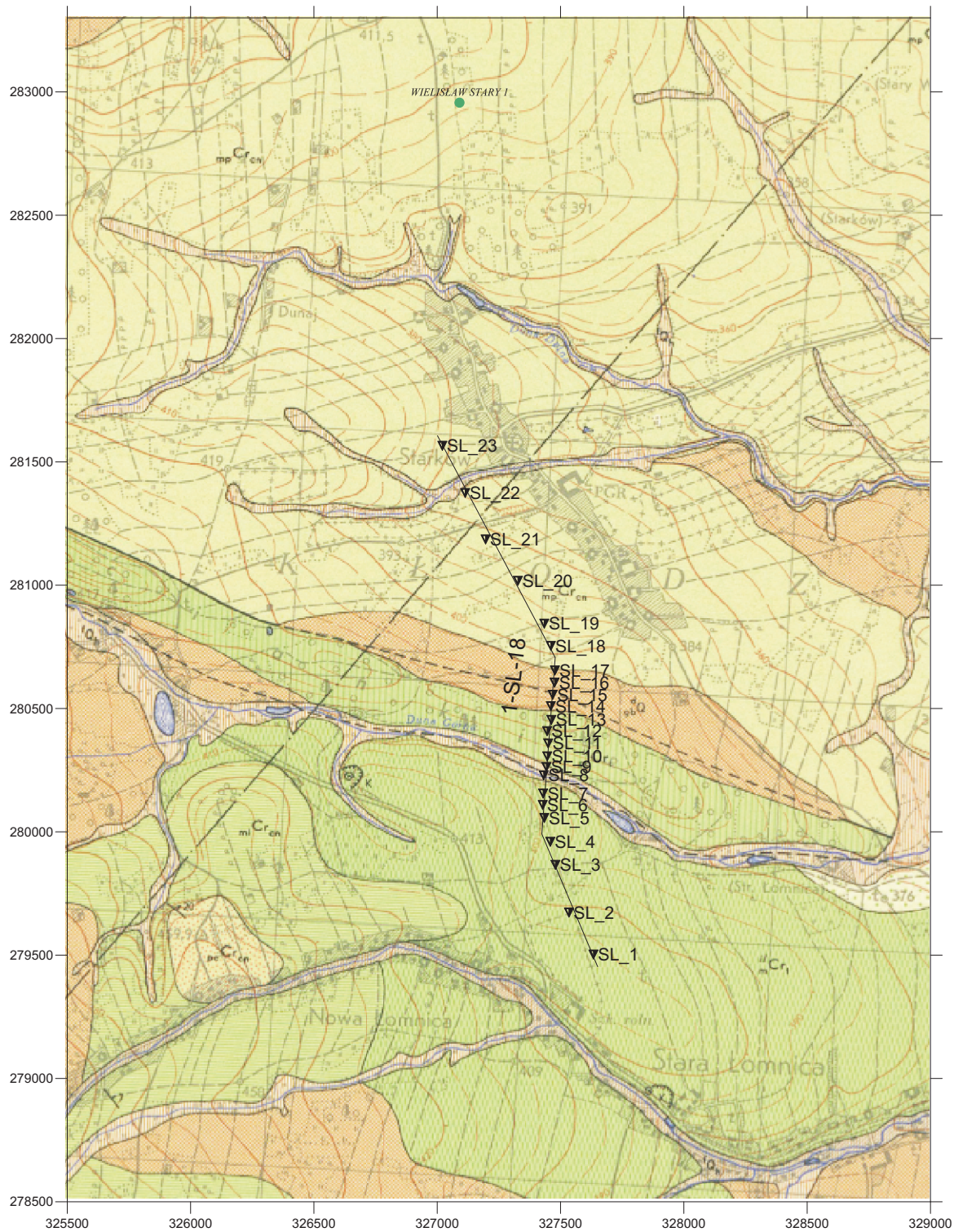


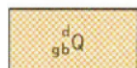
**Figura 3.7.11.1.** Lokalizacja sondowań magnetotellurycznych na tle mapy topograficznej podkład-Mapa Topograficzna Polski źródło:<http://mapy.geoportal.gov.pl/wss/service/img/guest/TOPO/MapServer/WMSServer> -rejon badań -Stara Łomnica, skala 1:25 000



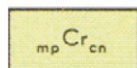
## OBJAŚNIENIA BARW I SYMBOLI



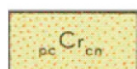
Osady rzeczne w ogólności



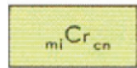
Gliny deluwialne z rumoszem skalnym



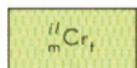
Margle ilaste z wkładkami piaskowców wapienistych



Piaskowce kwarcowe, ciosowe



Margle ilaste



Margle krzemionkowo-piaszczyste  
poziomu z *Inoceramus lamarki*

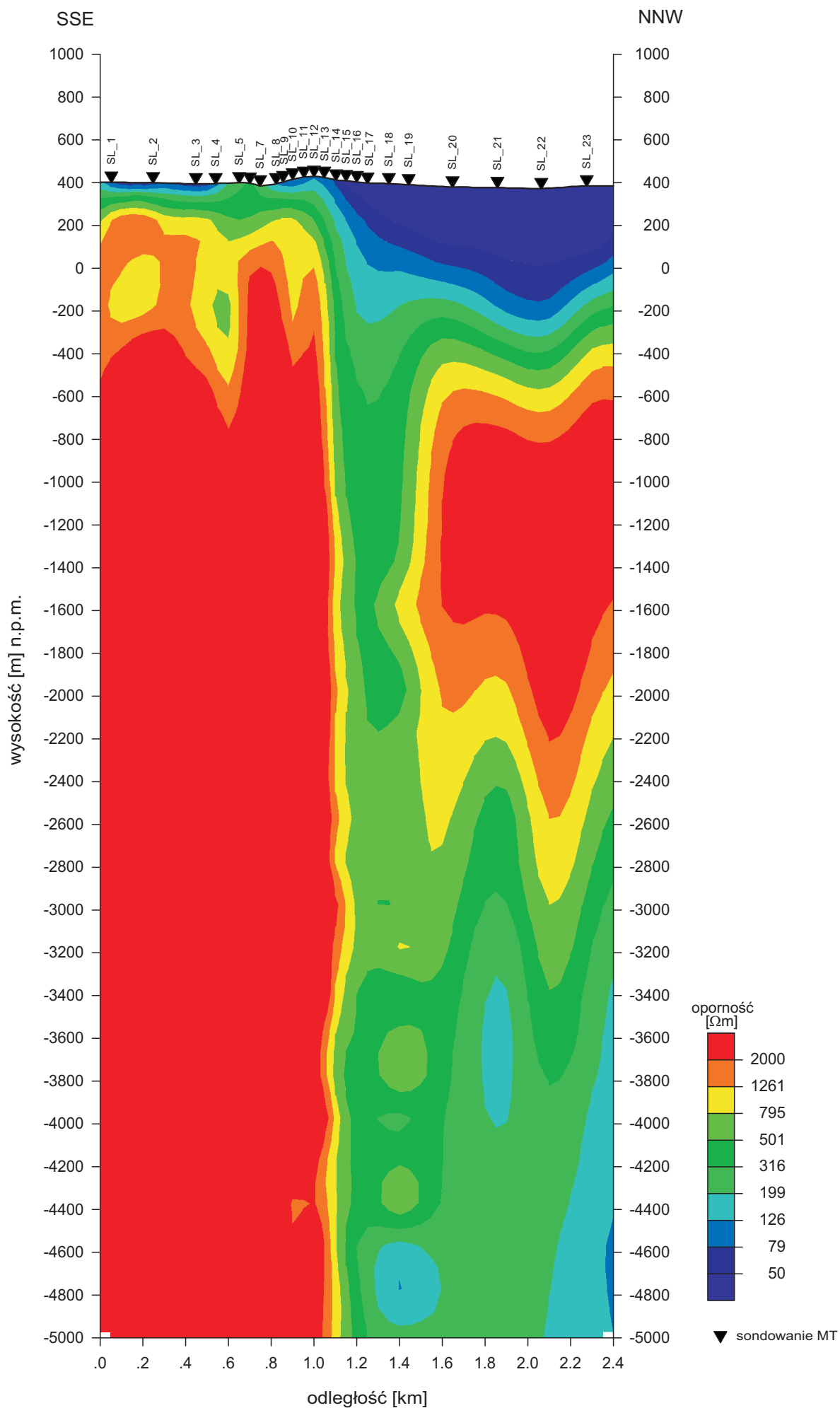


sondowanie magnetotelluryczne

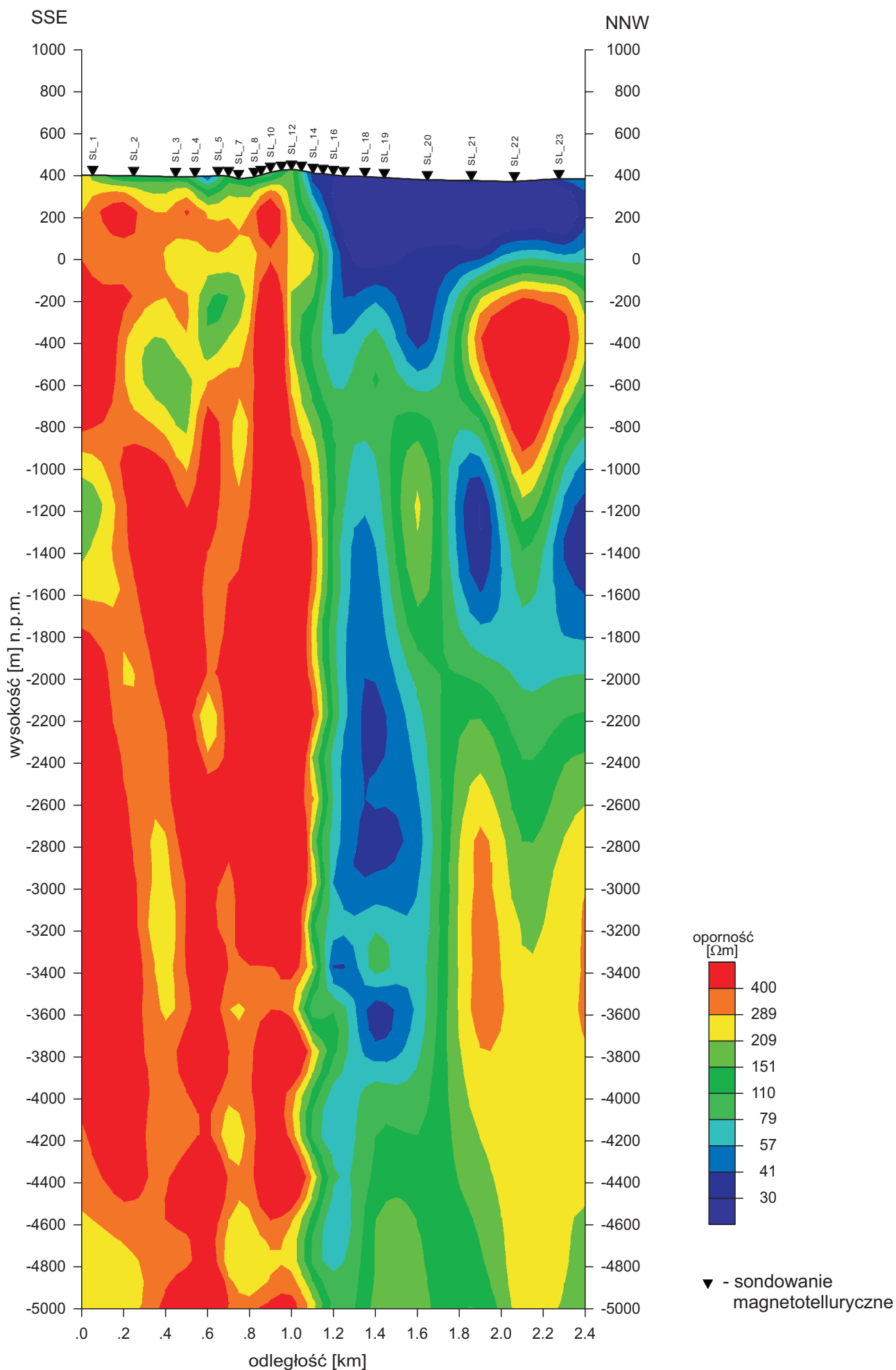


profil magnetotelluryczny

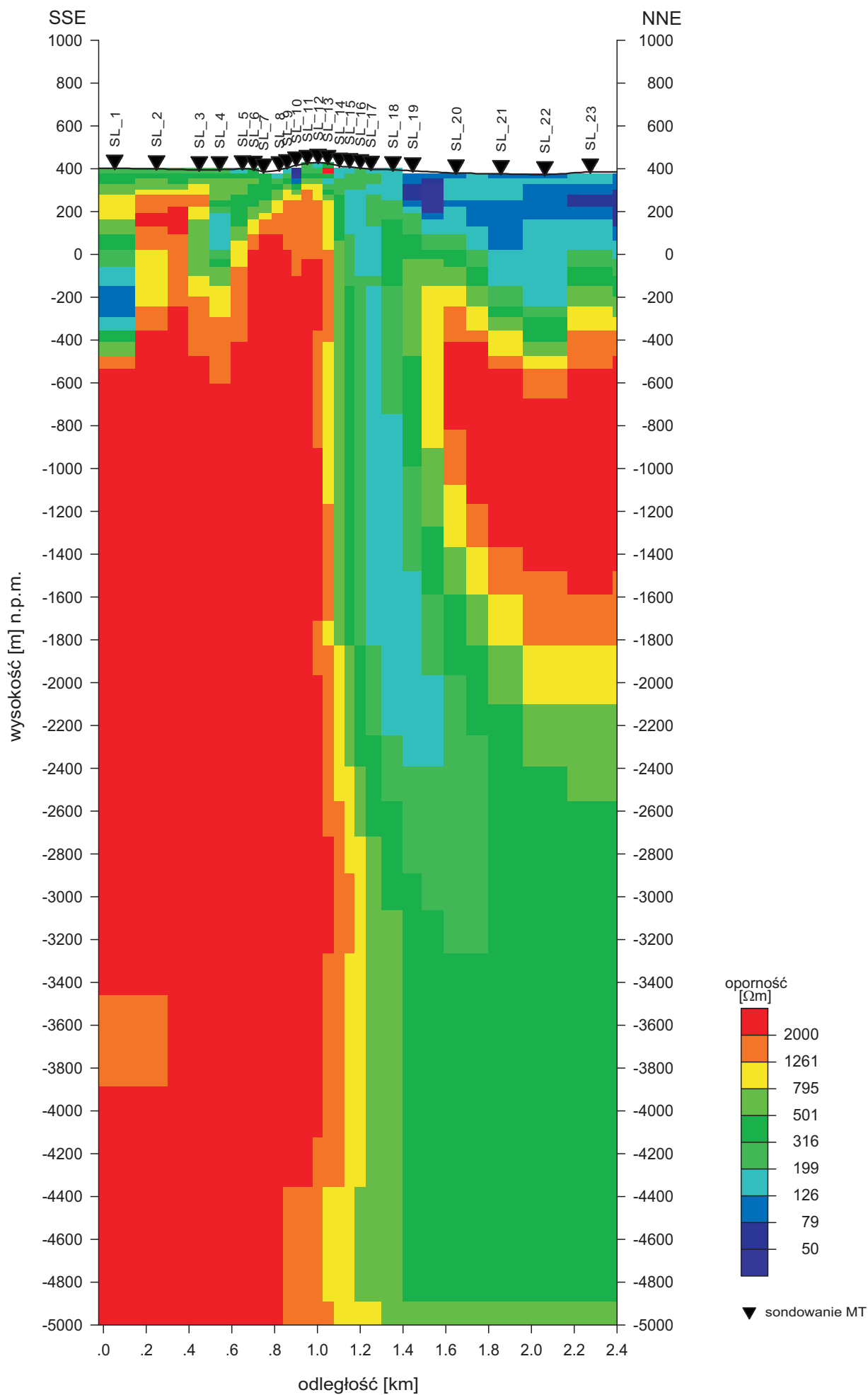
**Figura 3.7.11.2.** Lokalizacja sondowań magnetotellurycznych na tle Szczegółowej mapy geologicznej Sudetów - rejon: Stara Łomnica, fragment arkusza: M-33-58-C-c Polanica Zdrój - opracował: L. WÓJCIK, 1957 r., skala 1:25 000



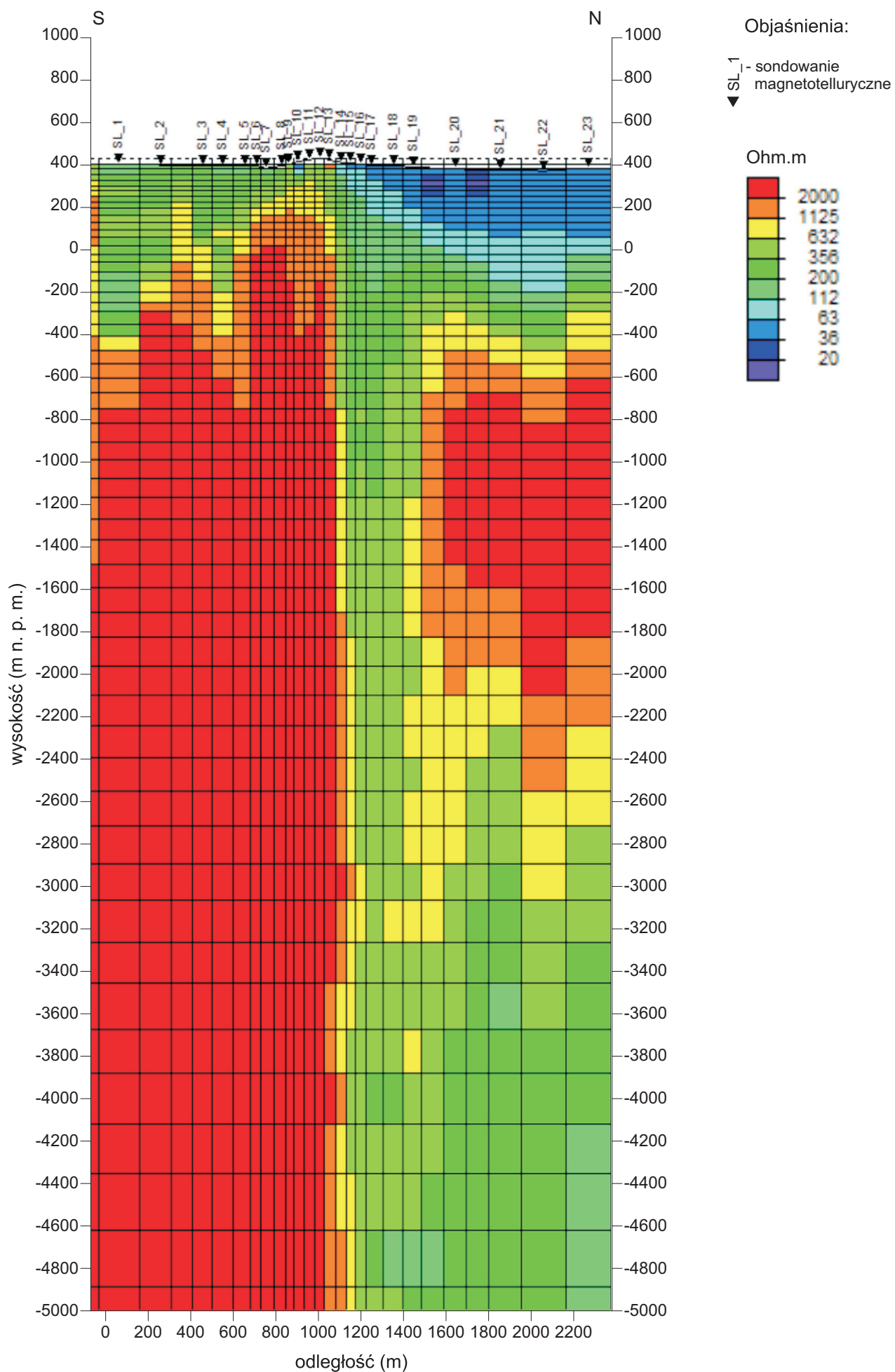
**Figura 3.7.11.3.** Rozkład oporności wzdłuż profilu 1-SL-18 Stara Łomnica na podstawie inwersji 1D wg algorytmu Occama dla polaryzacji magnetycznej



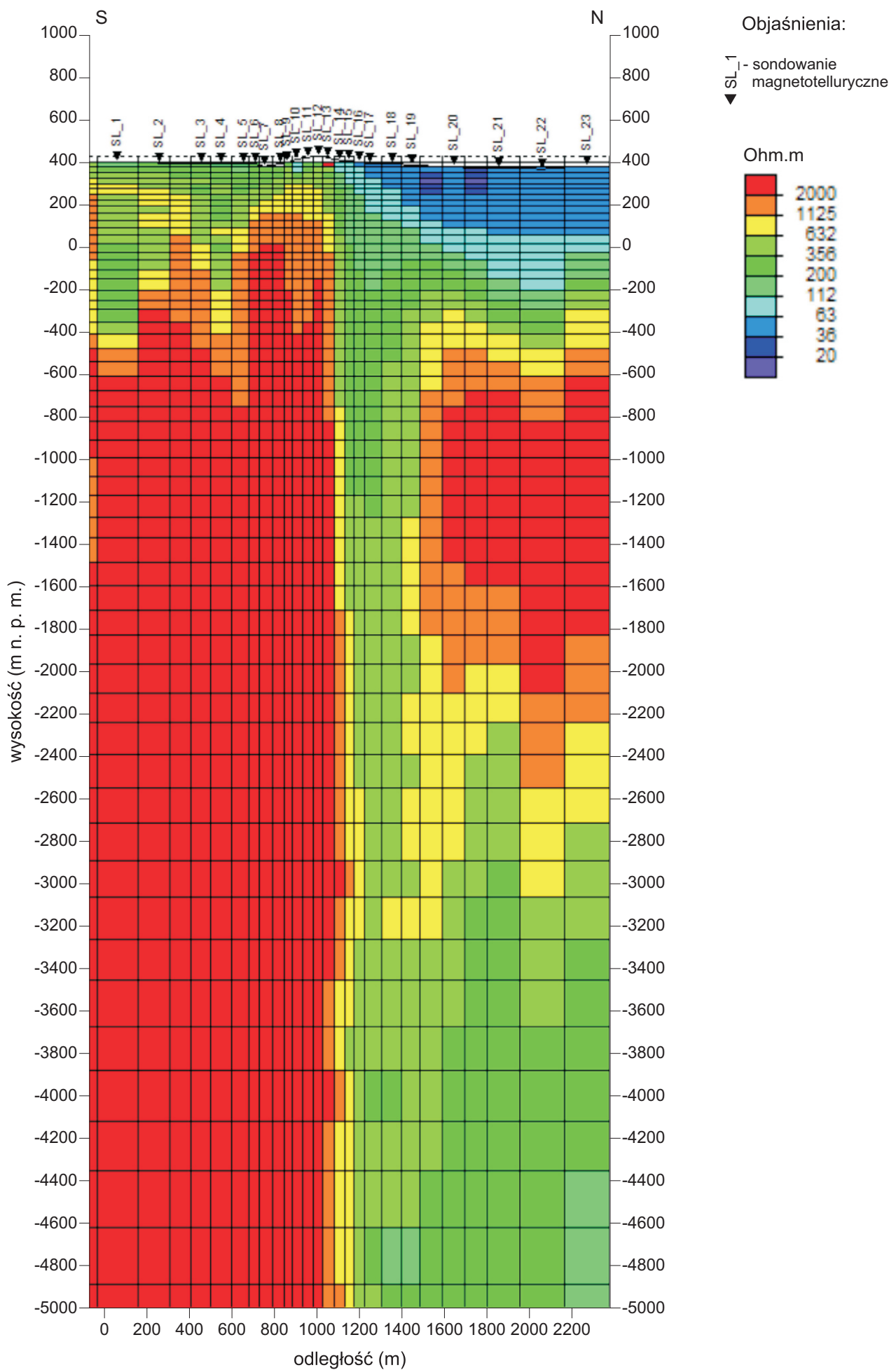
**Figura 3.7.11.4.** Rozkład oporności wzdłuż profilu 1-SL-18 Stara Łomnica na podstawie inwersji 1D wg algorytmu Occama dla polaryzacji elektrycznej



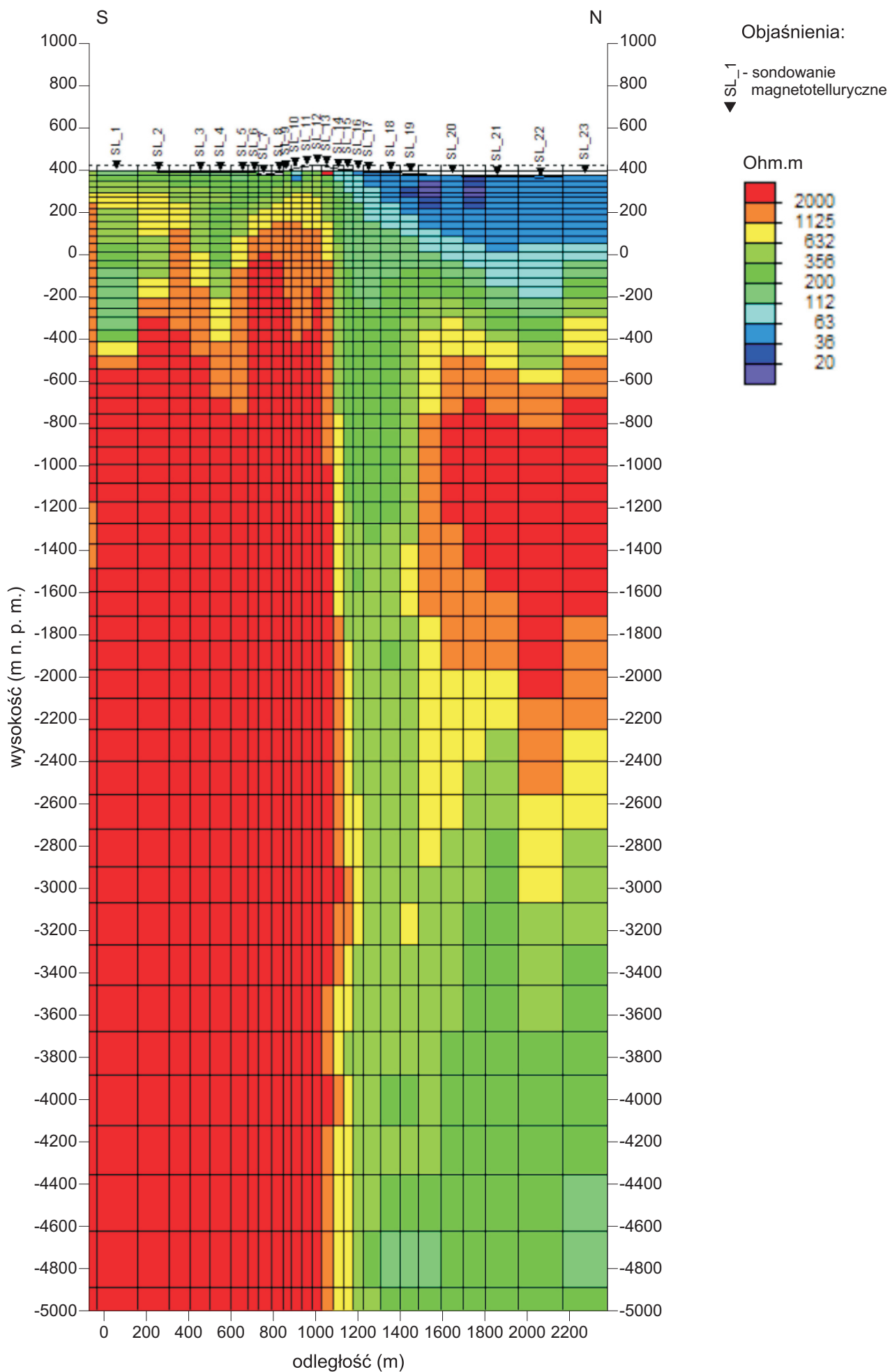
**Figura 3.7.11.5.** Rozkład oporności wzdłuż profilu 1-SL-18 Stara Łomnica na podstawie inwersji 2D wg algorytmu NLCG



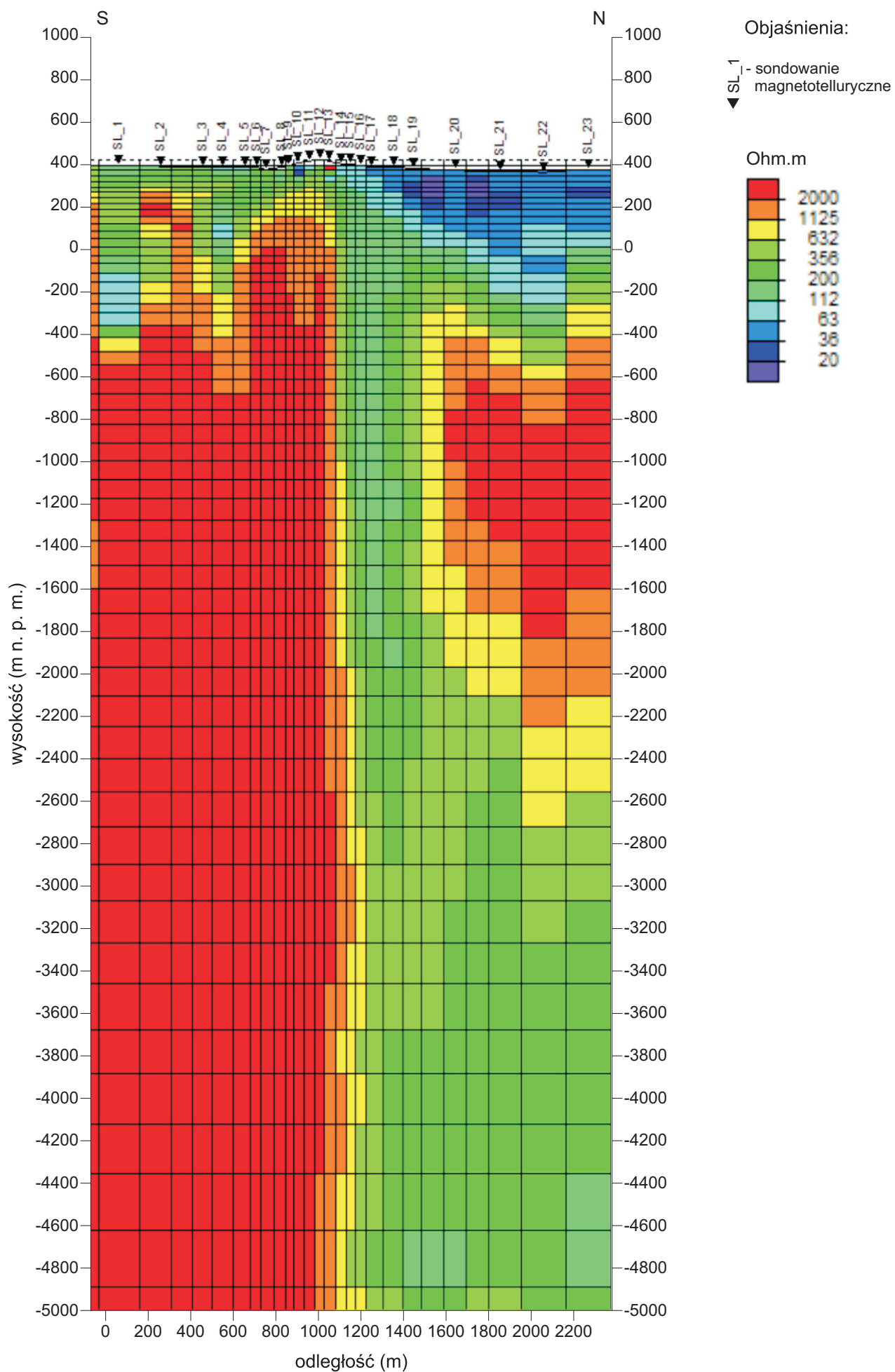
**Figura 3.7.11.5a** Rozkład oporności wzdłuż profilu 1-SL-18 Stara Łomnica na podstawie inwersji 2D wg algorytmu NLCG (iteracja 3)



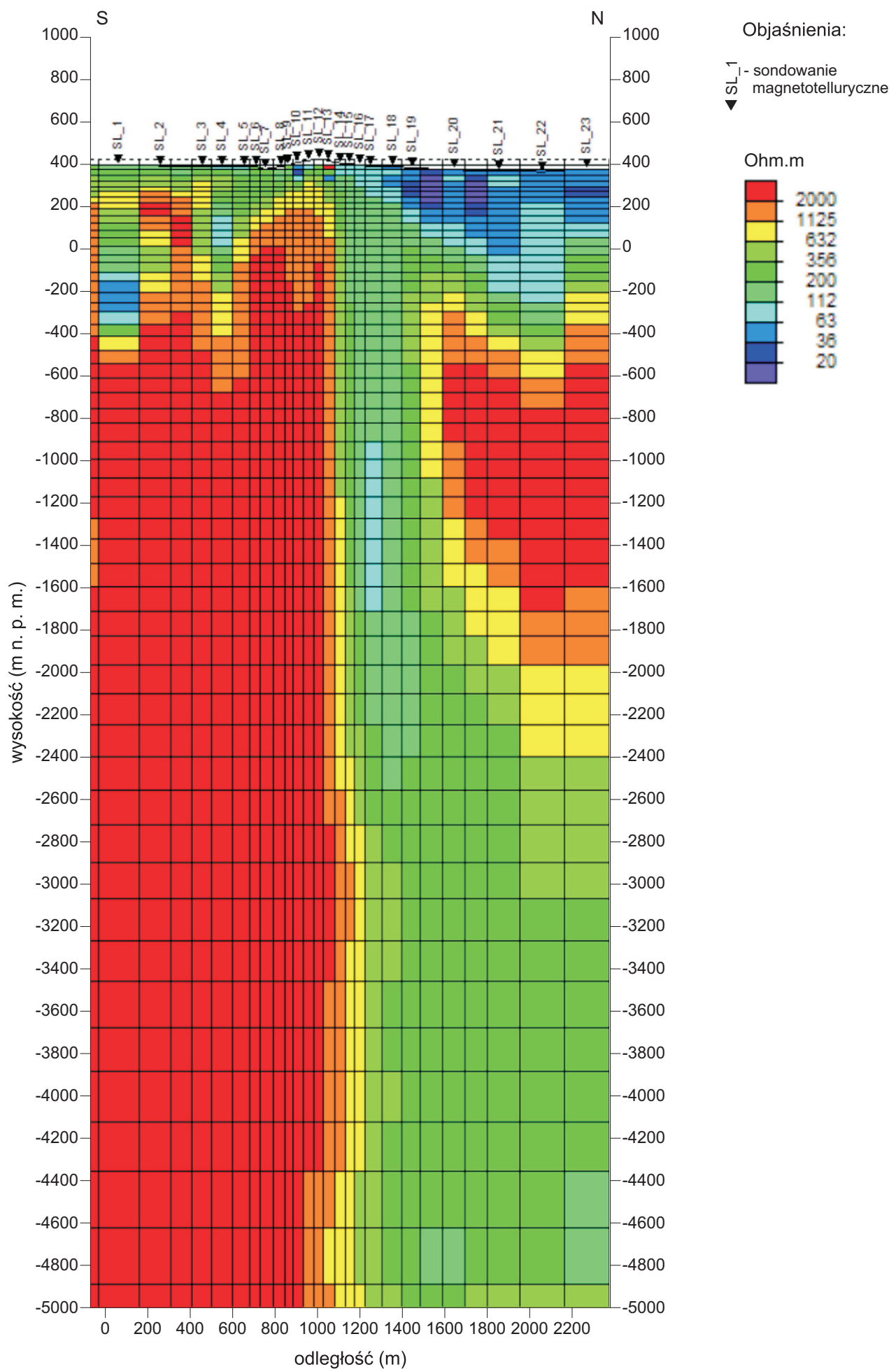
**Figura 3.7.11.5b** Rozkład oporności wzdłuż profilu 1-SL-18 Stara Łomnica na podstawie inwersji 2D wg algorytmu NLCG (iteracja 6)



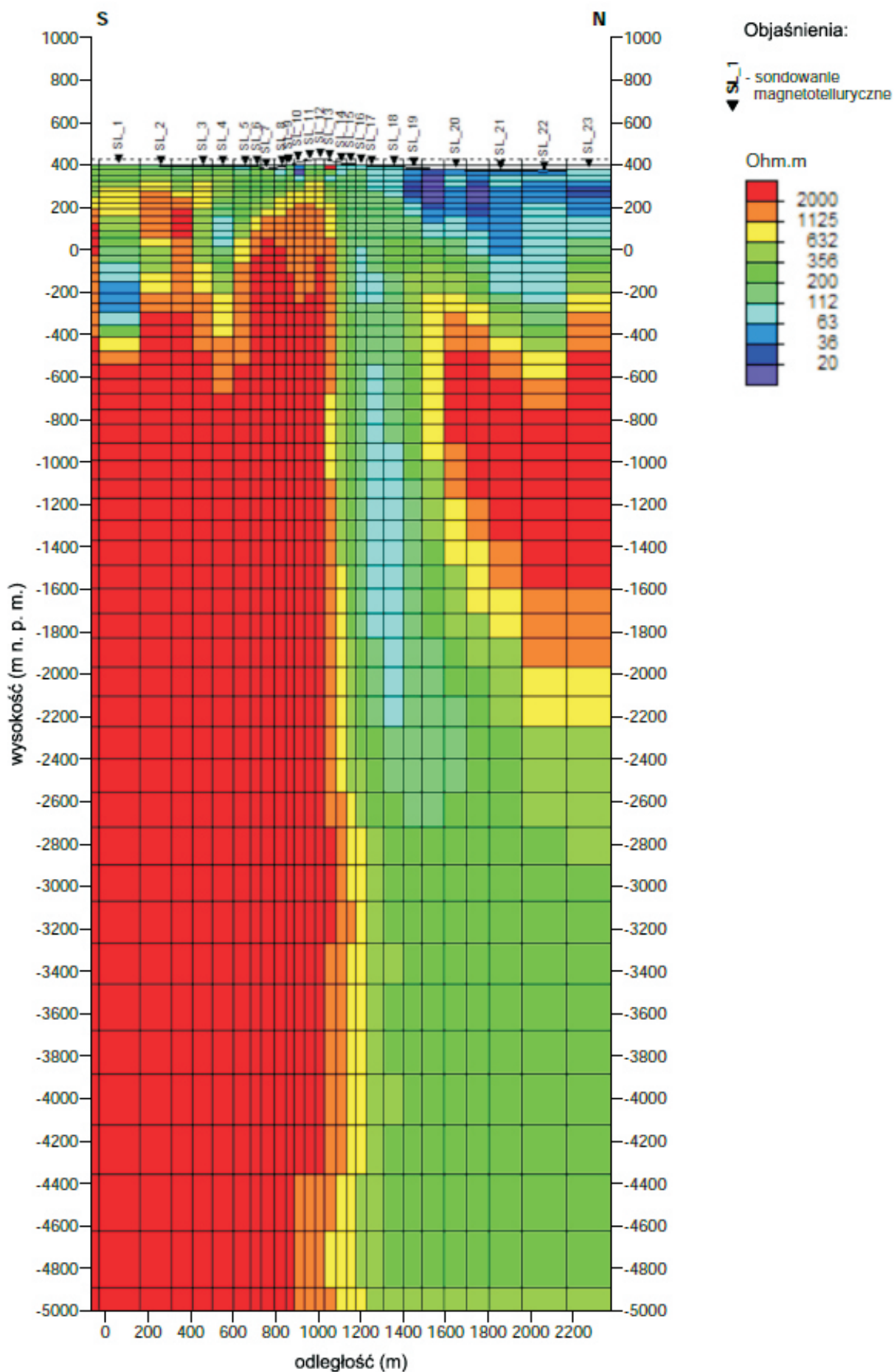
**Figura 3.7.11.5c** Rozkład oporności wzdłuż profilu 1-SL-18 Stara Łomnica na podstawie inwersji 2D wg algorytmu NLCG (iteracja 9)



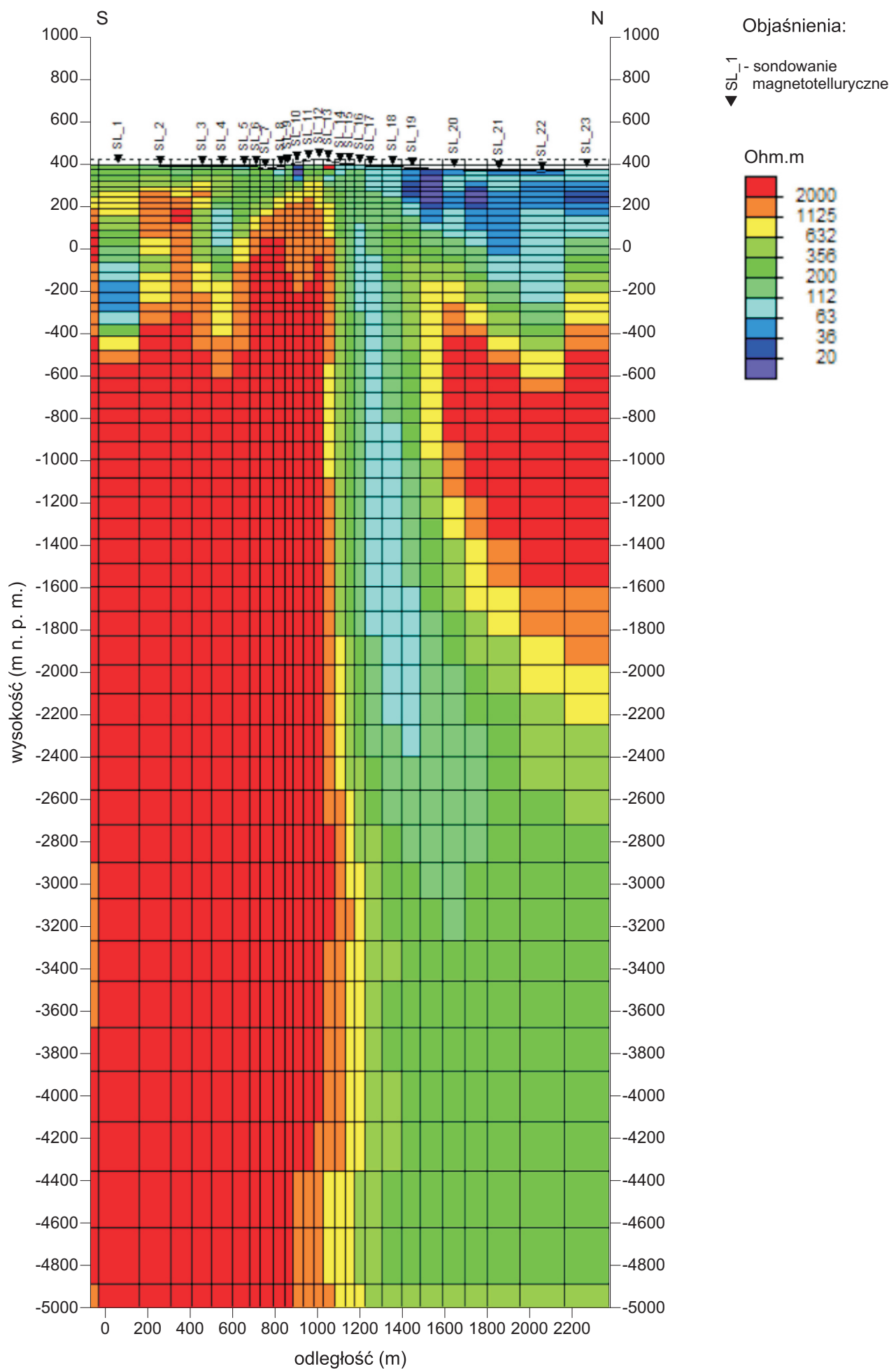
**Figura 3.7.11.5d** Rozkład oporności wzdłuż profilu 1-SL-18 Stara Łomnica na podstawie inwersji 2D wg algorytmu NLCG (iteracja 12)



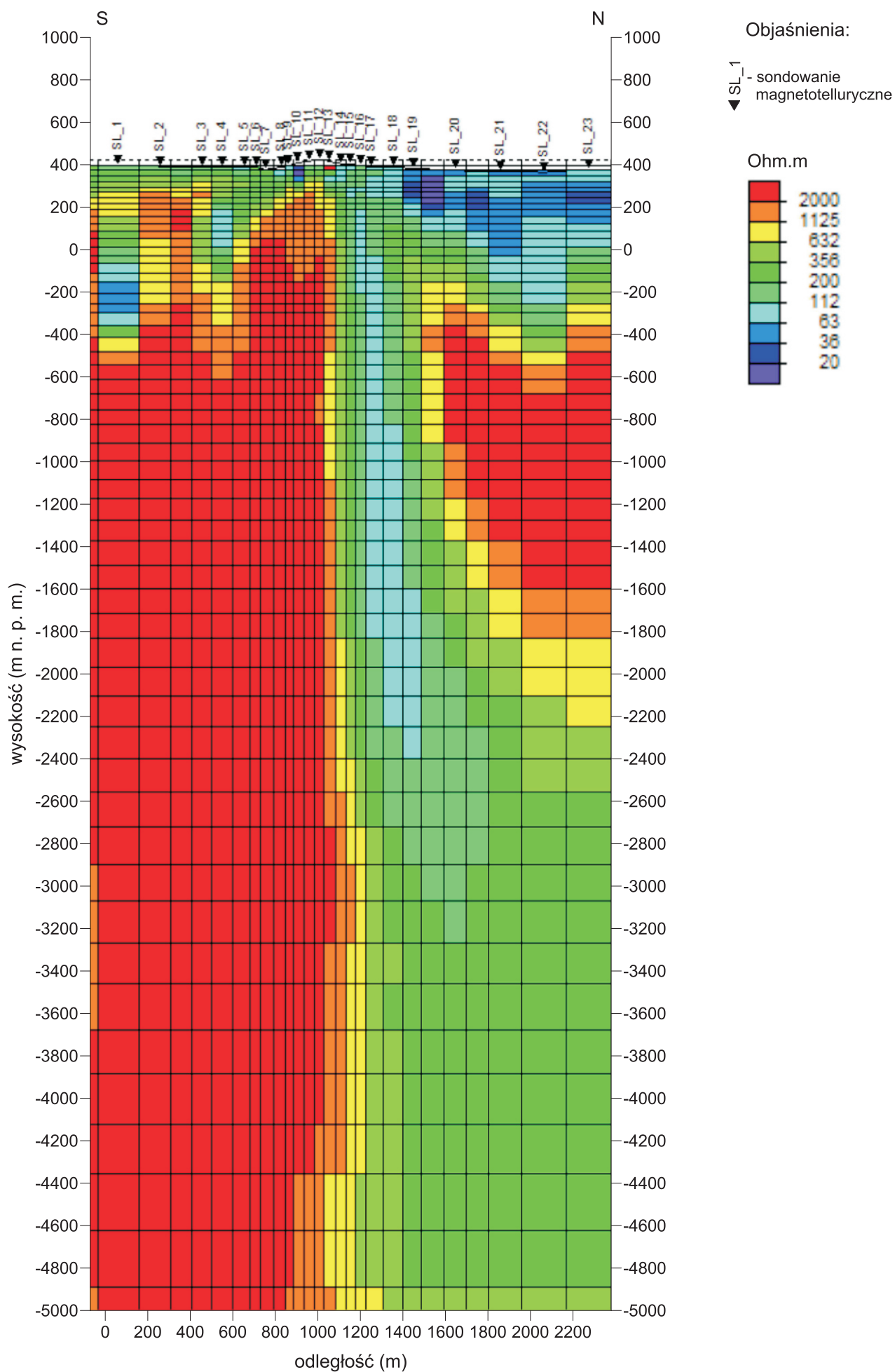
**Figura 3.7.11.5e** Rozkład oporności wzdłuż profilu 1-SL-18 Stara Łomnica na podstawie inwersji 2D wg algorytmu NLCG (iteracja 15)



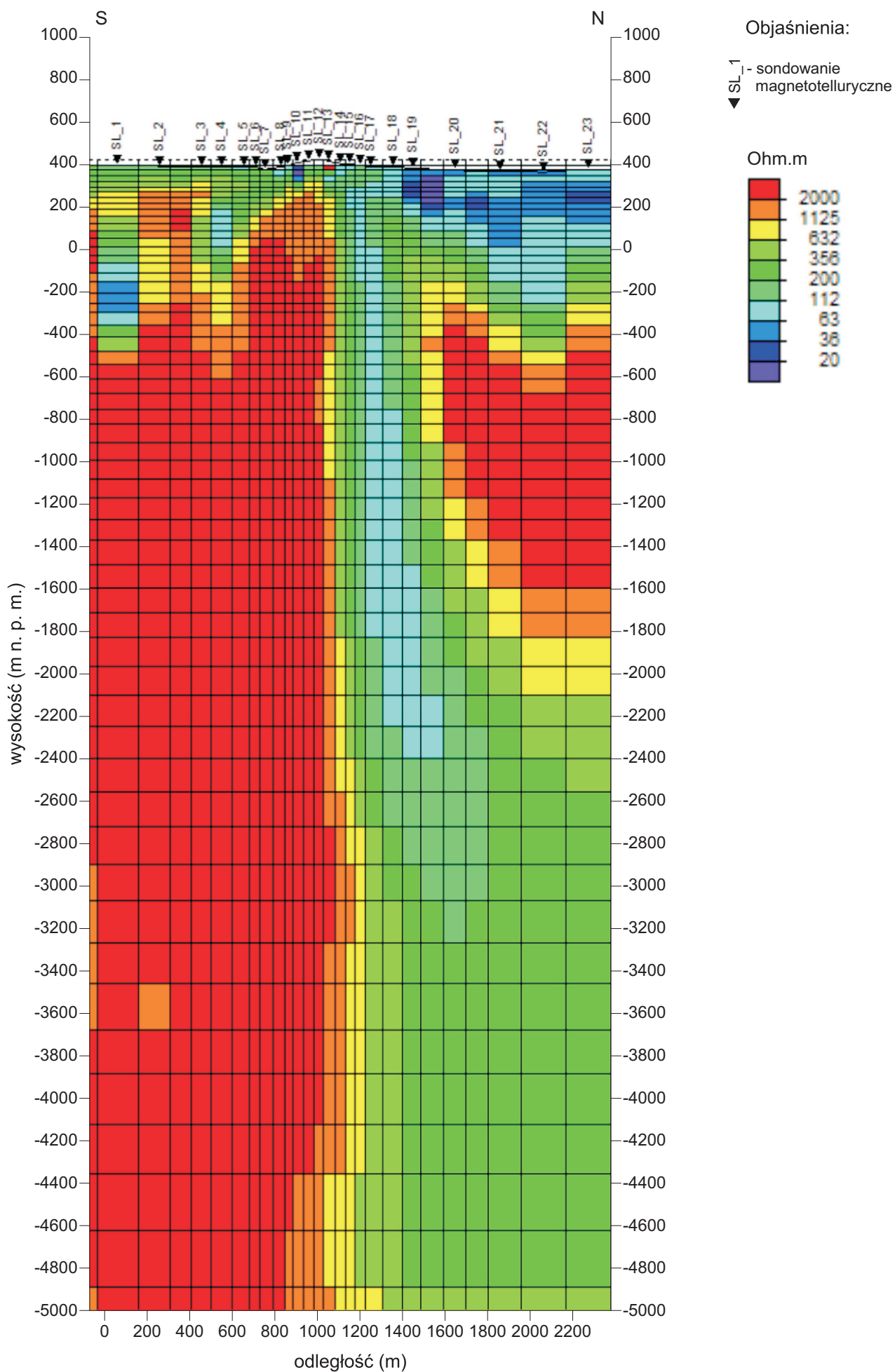
**Figura 3.7.11.5f** Rozkład oporności wzdłuż profilu 1-SL-18 Stara Łomnica na podstawie inwersji 2D wg algorytmu NLCG (iteracja 18)



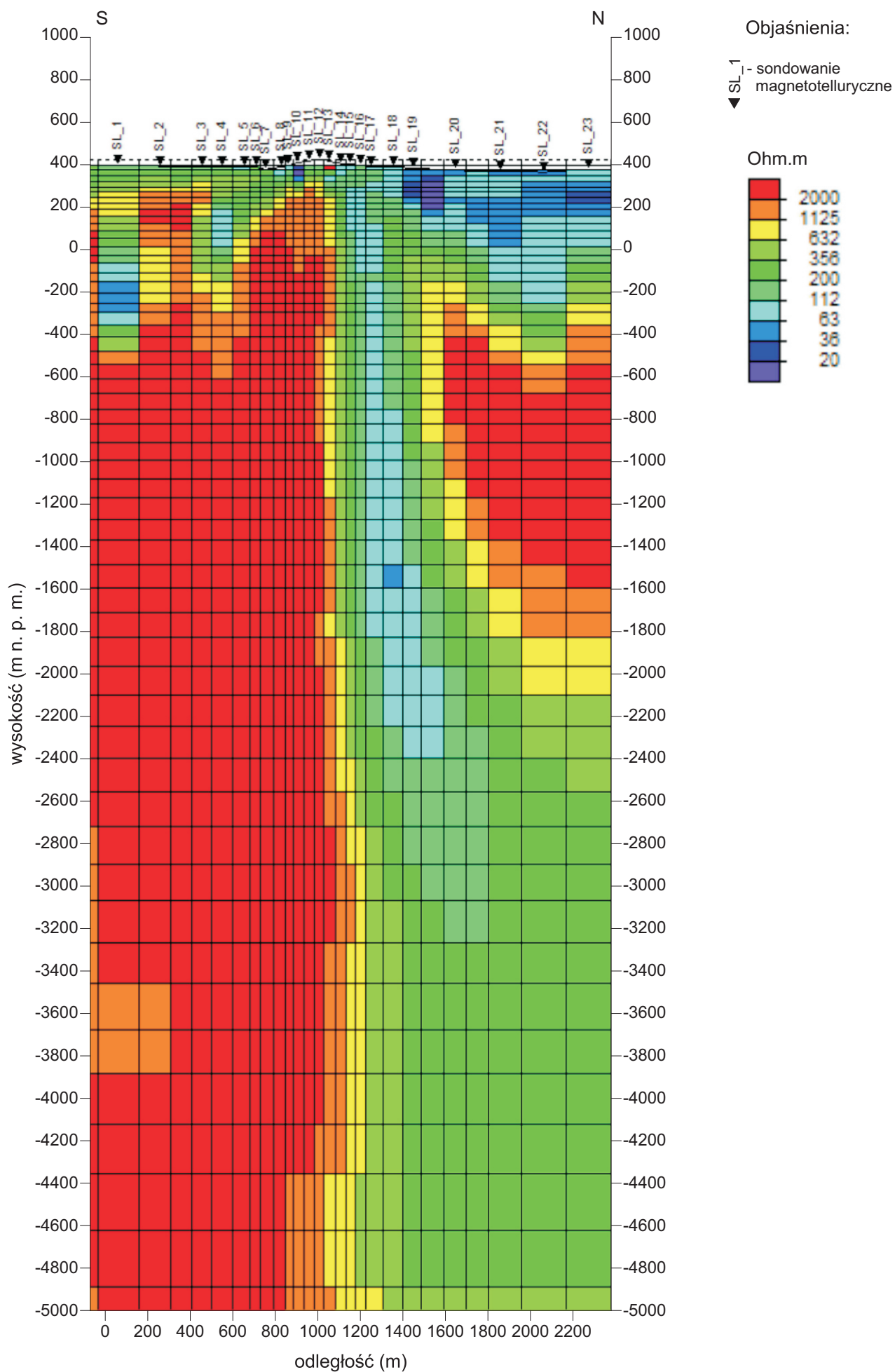
**Figura 3.7.11.5g** Rozkład oporności wzdłuż profilu 1-SL-18 Stara Łomnica na podstawie inwersji 2D wg algorytmu NLCG (iteracja 21)



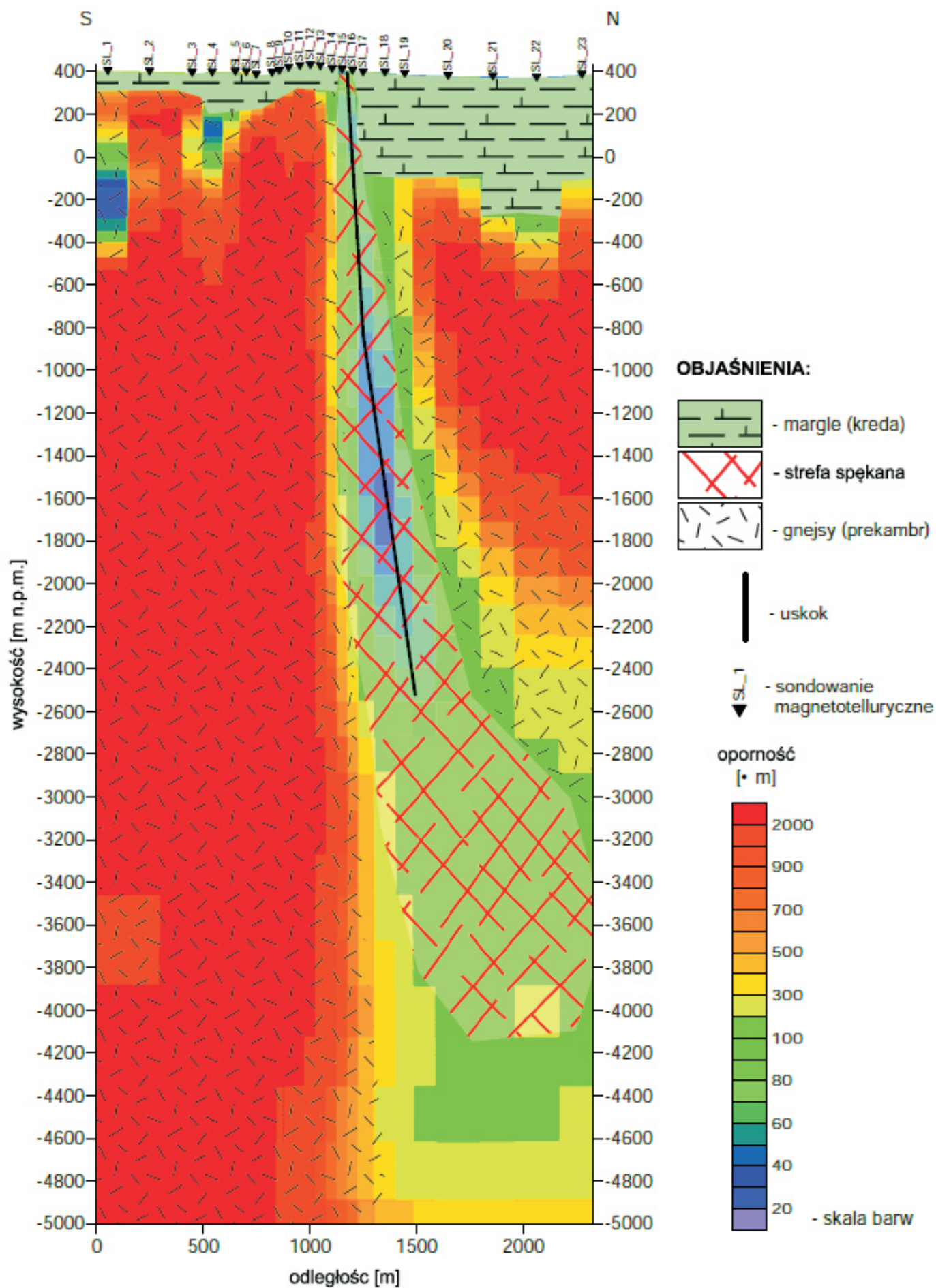
**Figura 3.7.11.5h** Rozkład oporności wzdłuż profilu 1-SL-18 Stara Łomnica na podstawie inwersji 2D wg algorytmu NLCG (iteracja 24)



**Figura 3.7.11.5i** Rozkład oporności wzdłuż profilu 1-SL-18 Stara Łomnica na podstawie inwersji 2D wg algorytmu NLCG (iteracja 27)



**Figura 3.7.11.5j** Rozkład oporności wzdłuż profilu 1-SL-18 Stara Łomnica na podstawie inwersji 2D wg algorytmu NLCG (iteracja 30)



**Figura 3.7.11.6.** Interpretacja geologiczna wzdłuż profilu 1-SL-18 Stara Łomnica wykonana na podstawie rozkładu oporności uzyskanego w wyniku inwersji 2D wg algorytmu NLGC oraz danych geologicznych